

0 до  $k$  максимальное  $k_1$ , достаточное для локализации пластических деформаций в слое, почти равномерно изменяется от  $0.82k$  до  $k$ .

**Список использованной литературы:**

1. Надаи А. Пластичность и разрушение твердых тел.- М.: ИЛ.-1954. - 647с.
2. Кривень В.А. Узагальнене представлення зони пластичності при антиплоскій деформації пружнопластичного тіла із гострокінцевим концентратором напружень. -Доп. АН УРСР, сер.А, №2,1983.- С.33-37.
3. Черепанов Г.П. О проблеме неединственности в теории пластичности.- Докл. АН СССР.- 1974.- 218, №4.- С. 779-782.
4. Артур П., Блекберн У. Влияние формы пластической зоны на ее протяженность и раскрытие трещин// Новые методы оценки сопротивления металлов хрупкому разрушению - М.: Мир. - 1972. - С. 107-118.
5. Кривень В.А. Антиплоска пружно-пластична задача для тіла з жорстким призматичним включенням правильної форми// Фіз.-хім. механіка матеріалів.- 2000.-№1. - С.23-26.
6. Мухелишвили Н.И. Сингулярные интегральные уравнения. -М.: Физматгиз. - 1968. -512с.

Поступила в редколлегию 29.04.2001 г.

УДК 539.3

Р.Ш. ГИМАДИЕВ, д-р техн. наук, Херсонский гос. техн. ун-т

**ДИНАМИКА НИТИ ПРИ ПЕРИОДИЧЕСКОМ ВОЗБУЖДЕНИИ**

При исследовании динамики абсолютно гибкой нити обнаружены разрывные решения[1]. В этой работе изучается нелинейные продольные колебания весомой нити при периодическом возбуждении свободного конца нити.

**1.Постановка.** Уравнение движения нити запишем в виде

$$r_0 \frac{J^2}{t^2} = \frac{N}{s} + r_0 g, \tag{1}$$

где  $r_0$  линейная плотность нити,  $J$ - смещение точки нити,  $N$  - натяжение в нити,  $s$  - лагранжева координата точки нити,  $g$  - гравитационное ускорение.

Физическое соотношение примем в виде закона Кельвина-Фойгта

$$N = Ee + m\dot{e} \tag{2}$$

где  $E$ ,  $m$  - модуль упругости и коэффициент физической вязкости,  $e = (\frac{\partial x}{\partial s} - 1)$  - относительное удлинение нити,  $x$  - эйлера координата (начало отсчета координат  $x$  и  $s$  - в точке подвеса),  $\dot{\epsilon}$  - скорость деформации.

Нить свободно подвешена, сила веса в покое  $r_0(1-s)g$  уравновешивается натяжением (2)  $Ee_0(s)$ , следовательно, начальное значение деформации составляет  $e_0 = e_0(s) = r_0(1-s)g/E$ .

Для скорости деформации  $\dot{\epsilon}$  запишем соотношение

$$\dot{\epsilon} = \frac{\partial (e + e_0)}{\partial t} = \frac{\partial}{\partial t} \left( \frac{\partial x}{\partial s} - 1 \right) = \frac{\partial}{\partial s} \left( \frac{\partial (x - s)}{\partial t} \right) = \frac{\partial}{\partial s} \left( \frac{\partial J}{\partial t} \right) = \frac{\partial \dot{J}}{\partial s}. \quad (3)$$

Положим, в результате деформации элементы нити не проникают друг в друга, следовательно, нужно положить  $\frac{\partial x}{\partial s} \geq 0$ .

Так как нить не воспринимает сжимающие усилия, то для выражения (2) запишем ограничение  $N \geq 0$ .

Рассмотрим (1), (2) в безразмерном виде, для чего введем характерные величины  $\mathbf{1}$ ,  $N_0 = E$ ,  $c_0 = \sqrt{E/r_0}$  - длина нити, натяжение и скорость упругой волны. Тогда система уравнений, описывающая динамику нити, примет вид

$$\frac{\partial \dot{J}}{\partial t} = \frac{\partial N}{\partial s} + g, \quad N = e + e_0 + m \frac{\partial e}{\partial t}, \quad \frac{\partial e}{\partial t} = \frac{\partial \dot{J}}{\partial s}, \quad (4)$$

с ограничениями

$$\frac{\partial x}{\partial s} \geq 0, \quad N \geq 0. \quad (5)$$

Пусть свободный конец подвешенной нити совершает периодическое колебание по закону  $A \sin wt$ ,  $A$  - амплитуда колебания,  $w$  - круговая частота.

Начальные и граничные условия задачи:

$$\begin{aligned} x(s,0) &= s[1 + e_0(s)], \quad (s \leq 1), \quad \dot{J}(s,0) = 0, \quad (s < 1), \\ x(0,t) &= 0, \quad x[1 + e_0(1), t] = 1 + e_0(1) + A \sin wt. \end{aligned} \quad (6)$$

**Метод решения.** При решении системы уравнений (4) с ограничениями (5), начальными и граничными условиями (6) используется явная схема метода конечных разностей. При колебании нити за счет высокой скорости деформации нить нагревается и энергия рассеивается, физическая вязкость, входящая в формулу (2), учитывает диссипацию энергии. Явные схемы обладают осцилляцией решений за фронтом волн. Расчеты показывают, что эта вязкость также гасит паразитические колебания, появляющиеся в результате численной реализации.

Рассматривается дискретная область

$$s_i = i\Delta s, t_n = n\Delta t, (n = 0, 1, \dots, t/\Delta t - 1, i = 1, 2, \dots, s/\Delta s).$$

Для аппроксимации производных используются центральные разности на полуцелой сетке. Схема обладает вторым порядком аппроксимации по координате  $s$  и по времени  $t$ .

Шаг интегрирования выбирается на основе численного эксперимента в области устойчивости счета по критерию Куранта  $\Delta t \leq \Delta s / c_0$ .

**Тестовая отработка программы.** Оценим скорость движения волны деформации  $U$  к неподвижной опоре для невесомой нити, к нижнему концу которой приложена сила  $P = const$ .

Как при поперечном [2], так и при продольном ударе по нити, волна деформации распространяется с постоянным значением скорости и с прямым скачком на переднем фронте волны. Начиная с момента приложения силы  $P$  волна деформации со средней скоростью  $U$  распространяется к точке подвеса. При достижении волной точки подвеса кинетическая энергия нити равна  $r_0 \mathbf{l} U^2 / 2$ . Работа, совершаемая силой  $P$  на растяжение нити на длину  $\Delta \mathbf{l}_k$ , составляет  $P \Delta \mathbf{l}_k / 2$ . Из этих соотношений получаем  $U = \sqrt{P e_k / r_0} = c_0 e_k = c_0 P / E$ , расчеты по (4) ÷ (5) дают то же самое.

**Результаты.** Решение проведем при следующих параметрах:  $E = 2750$  Н;  $\mathbf{l} = 1$  м;  $r_0 = 0.0026$  кг/м. Нижний конец нити совершает периодические колебания по закону  $A \sin w t$ .

Расчеты показывают, что при  $m < 0.001$  на динамику нити заметное влияние оказывают осцилляции решений за фронтом волн, значение этого коэффициента примем равным  $m = 0.003$ , а  $w = 6$  и  $A = 0,005$ .

Для этой задачи с самого начала  $\mathcal{J} / \mathcal{J} s \neq 0$  èèè  $\& \neq 0$ , обе составляющие в (2) существенны. При движении волны к точке подвеса величина амплитуды несколько падает за счет влияния вязкостного

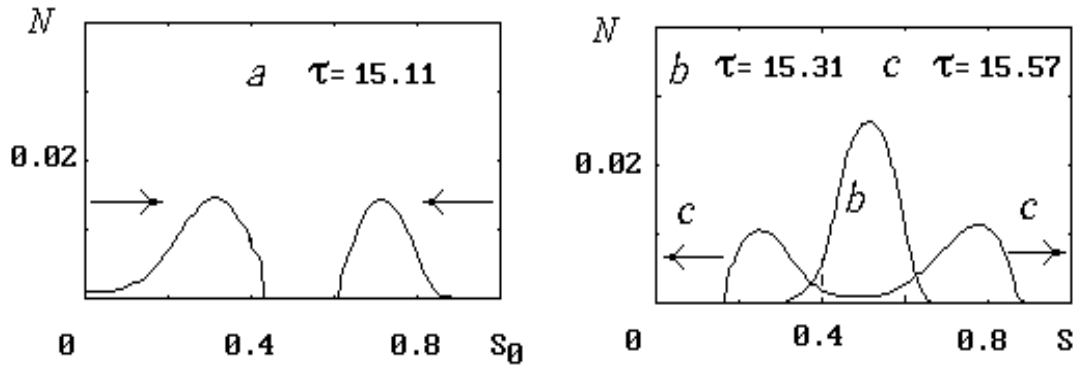


Рис.1 Усиление отраженной волны волной возбуждения

члена в (2). При достижении волной деформации точки подвеса амплитуда натяжения удваивается, скорость волны снижается до нуля и меняется направление. Волна натяжения движется обратно к нижнему периодически возбуждаемому концу. Отраженные и возбуждаемые волны при встрече усиливаются. Достаточно продолжительное время они различны по амплитуде и видимого эффекта усиления не наблюдается. В некоторый момент времени, рис. 1 а, встречаются волны больших амплитуд и примерно равных величин. Волны усиливают друг друга, и после максимального нарастания амплитуды, рис. 1 б, эти волны, уменьшаясь, продолжают двигаться в своих направлениях, рис. 1 с. Таким образом, удвоение амплитуды при периодическом возбуждении реализуется не только в точке подвеса, но и в промежуточных элементах нити.

Построим фазовые траектории - графики функций скорости от перемещения точки нити  $s_i$  за отрезок времени  $t_2 - t_1$ :  $\dot{s} = f(J)$ .

На рис. 2а приводится фазовый портрет при частоте  $w = 6$  для точки нити  $s = 0.5$  за промежуток времени  $t_2 - t_1 = 100T$ , где  $T = 2\pi / w$  - период колебания подвижного конца нити, результаты достаточно хорошо согласуются с данными работы [1]. Разрывы на графике  $\dot{s} = f(J)$  связаны с условием  $N \geq 0$ , т.е. нить не воспринимает сжимающие усилия при сближении двух соседних точек нити при движении. На рис. 2б и 2с приводятся фазовые портреты на интервалах времен  $100T$  при частотах  $w = 18$  и  $w = 30$ .

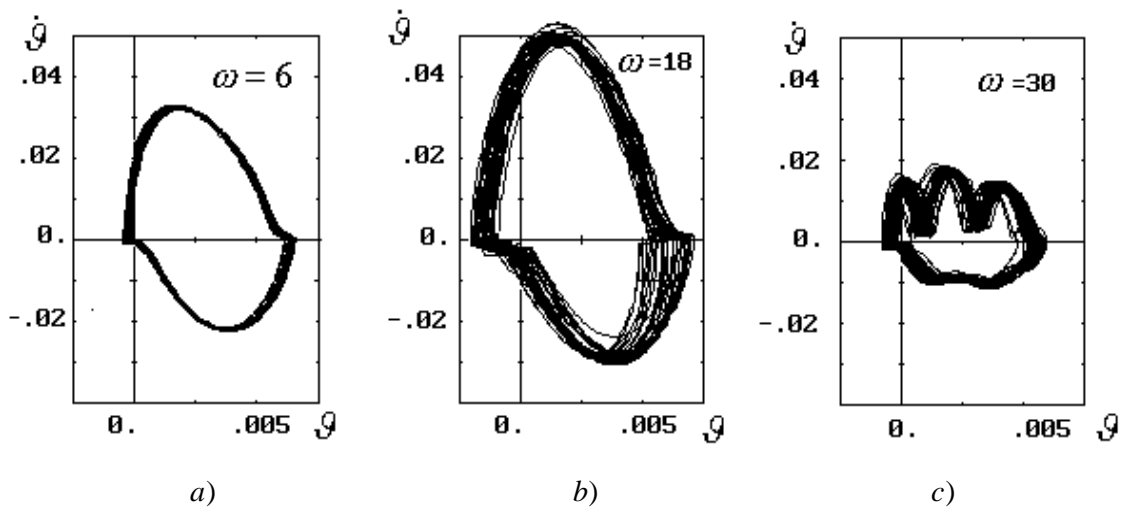


Рис.2 Фазовые портреты  $s = 0.5$  на интервалах времен  $100T$

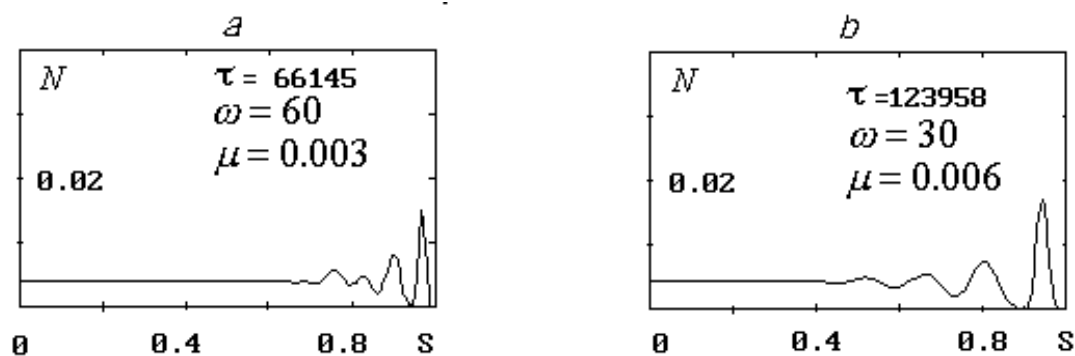
Для вязкоупругого стержня собственная частота вычисляется по формуле  $w_m = mp\sqrt{1 - (mp/2)^2}$  и на частотах возбуждения, кратных трем,  $w = 3m$ ,  $m = 1, 2, 3, \dots$  ожидается резонансный режим.

Амплитудой вынужденных колебаний определяются максимальные динамические натяжения в нити. При одном и том же значении возбуждающей амплитуды колебания  $A$ , возникающая амплитуда колебания скорости и натяжения в нити могут значительно изменяться в зависимости от изменения частоты колебания  $w$ . Известно также, для линейной системы с осциллятором вынужденные колебания происходят с частотой возмущающей силы и при резонансе амплитуда вынужденных колебаний остается конечной и не самой большой из возможных значений [3]. Расчеты динамики нити по нелинейной модели (4), (5), (6) показывают, что при увеличении  $w$  от 1 до 18 значение максимального отклонения возбужденной скорости  $d = [(+ \mathcal{R}) - (- \mathcal{R})]$  возрастает, затем при дальнейшем увеличении падает. Здесь также наблюдается, что максимальные отклонения  $d$  сдвинуты относительно резонансных частот. Значения  $d$  для частот  $w = 3m$ ,  $m = 1, \dots, 10$  составляют

$m$	1	2	3	4	5	6	7	8	9	10
$d$	0.047	0.059	0.074	0.083	0.087	0.090	0.068	0.053	0.050	0.042

Расчеты показывают, что при дальнейшем увеличении частоты

$\omega$  для большей части нити фазовый портрет интенсивно притягивается к области с минимальными размерами (практически в точку) и эта область уже больше не расширяется. Для различных элементов нити имеем различные фазовые траектории и области притяжения. На рис. 3 приводятся результаты расчета распределения натяжений при частотах  $\omega = 60$  и  $\omega = 30$ . При частоте возбуждения  $\omega = 60$  максимальная скорость возбуждения правого конца нити составляет  $\max \dot{x}_{s=1} = A\omega = 0.3c_0$ . К моменту времени  $t = 66000$  для этой частоты натяжения на длине  $2/3$  нити самоустанавливаются и скорости элементов нити на этой длине равны нулю, колебательный процесс продолжается на длине  $1/3$  от возбуждаемого конца, рис. 3а. При уменьшении частоты заметить этот эффект можно только через продолжительное время или с увеличением коэффициента  $m$ , входящего в физическое соотношение (2). При частоте  $\omega = 30$  через определенное время колебания распространяются только до половины нити от возбуждаемого конца, а на другой половине имеем установившиеся значения натяжений. Величины установившихся натяжений практически не зависят от частот возбуждения, так для  $\omega = 30$  и до  $\omega = 60$  значения натяжений составляют  $N = 0.0045$ .



**Рис.3** Распределения натяжений при больших частотах

Таким образом, при очень больших частотах возбуждения свободного конца (порядка  $\omega = 30 \div 60$ ) в большей части нити колебания через определенное время затухают и остаются существенными только вблизи области возбуждения.

При обсуждении результатов, член-корреспондент РАН Ильгамов М.А. заметил, что такую аналогию можно встретить при бурении на больших глубинах (со временем вертикальное колебание трубы затухает в глубине бурения).

Работа выполнена при финансовой поддержке РФФИ (код проекта 99-01-00234).

### Список использованной литературы

1. Ильгамов М.А., Ридель В.В. Режимы разрывных колебаний в абсолютно гибкой нити//ДОКЛАДЫ АКАДЕМИИ НАУК, 1995, том 343, №4, с.478-481.
2. Рахматулин Х.А., Демьянов Ю.А. Прочность при интенсивных кратковременных нагрузках. Из-во физико-матем. литературы. М.: 1961. - 400 с.
3. Бабаков И.М. Теория колебаний. Наука. М.: 1965. - 560 с.

Поступила в редколлегию 01.05.2001 г.